

**Б.Д. Борисов**

## РЕЗУЛЬТАТЫ ЭКСПЕРИМЕНТАЛЬНЫХ ИССЛЕДОВАНИЙ ВЛИЯНИЯ СЛОЯ МОДЕЛЬНОЙ МУТНОЙ СРЕДЫ НА ПЕРЕНОС ИЗОБРАЖЕНИЯ

Изложены результаты экспериментальных исследований моделирования условий наблюдения через слой рассеивающей среды. Приведены зависимости качества изображения от положения слоя и размеров частиц. Оценены границы оптических толщин, при которых контраст изображения является немонотонной функцией положения слоя.

Основные результаты теоретических и экспериментальных исследований по проблемам переноса изображения в мутных средах обобщены в работах [1, 2, 3], анализ которых показывает, что эти исследования еще далеки от завершения и требуют дальнейшего развития. Одной из таких проблем является влияние слоистой неоднородности среды на качество изображения.

В теории линейных систем видения качество изображения принято характеризовать, например, функцией размытия точки (ФРТ), описывающей распределение освещенности в плоскости наблюдения точечного диффузного источника, или частотно-контрастной характеристикой  $K(\omega) = k(\omega)/k(0)$ , где  $k(\omega)$  — оптическая передаточная функция (ОПФ). Для осесимметричной ФРТ рассеивающей среды ОПФ может быть найдена с помощью преобразования Ганкеля  $k(\omega) = 2\pi \int_0^\infty r h(r) J_0(\omega r) dr$ , где  $h(r)$  — функция размытия точки;  $r = \sqrt{x^2 + y^2}$  ( $x$  и  $y$  — координаты в плоскости наблюдения;  $\omega = 2\pi f$  — пространственная частота;  $J_0(\omega r)$  — функция Бесселя 0-го порядка).

В лабораторных экспериментальных исследованиях измерение  $k(\omega)$  осложнено трудностью создания большеразмерных протяженных объектов и рассеивающих слоев. В работе [4] показано, что сужение пространственных границ измерения  $h(r)$  (что, как правило, имеет место в лабораторных экспериментах), приводит к ошибкам в оценке ОПФ на низких пространственных частотах (ошибка усечения). Достаточная точность в определении  $k(\omega)$  достигается для частот  $f \geq R^{-1}$ , где  $R$  граничное значение пространственной координаты  $h(r)$ . В работе [5] на примере расчета ЧКХ оптических систем рекомендуемой процедурой снижения погрешности в области высоких пространственных частот является нормировка относительно «величины полной энергии урезанной ФРТ», т.е.  $\tilde{k}(0; l) = 2\pi \int_0^R r \tilde{h}(r) dr$  ( $l$  — расстояние от объекта до локализованного слоя рассеивающей среды).

В данном сообщении на основе характеристик  $\tilde{K}(\omega; l) = \tilde{k}(\omega; l) / \tilde{k}(0; l)$ , рассчитанных по экспериментальным  $\tilde{h}(r; l)$ , исследуются зависимости этих характеристик от оптической толщины  $\tau$ , размеров частиц и положения пространственно ограниченного рассеивающего слоя на трассе наблюдения с целью определения границ оптических толщин и положения слоя, в которых наиболее сильно проявляется эффект экстремального искажения изображения объектов ограниченных размеров, описанный в работах [6, 7].

Для нахождения функции  $\tilde{h}(r; l)$  использовалась экспериментальная установка с диффузно-излучающим плоским излучателем угловыми размерами  $\sim 9 \cdot 10^{-4}$  рад. Схема экспериментальной установки и методика измерений подобны ранее описанным в работе [8]. Рассеивающая среда помещалась в круглую плоско-параллельную стеклянную кювету диаметром 440 мм. Слой с рассеивателями толщиной  $\Delta L = 22$  мм перемещался относительно источника и приемника вдоль оптической оси последнего. Излучение источника регистрировалось объективом диаметром 64 мм. Мгновенное поле зрения анализатора изображения составляло не более  $2\beta = 10^{-3}$  рад.

Распределение освещенности в плоскости изображения приемного объектива находилось дискретным сканированием полем зрения анализатора изображения. Приближение эксперимента к условиям наблюдения системами с визуальной регистрацией оптического сигнала, достигалось использованием спектрального диапазона, близкого к спектральному диапазону визуальных систем с максимумом пропускания в области 0.55 мкм.

Применяемая в эксперименте методика определения  $\tilde{h}(r; l)$  относится к методике «углового сканирования». Из работы [9] следует, что эта методика и «прямой способ» (метод пространственного сканирования узкоугольным приемником) измерения  $\tilde{h}(r; l)$  взаимозаменяемы для малых углов изме-

рения и с достаточной точностью во всем диапазоне углов, если рассеивающий слой вблизи источника. Использование последнего свойства позволяет провести оценку эффективного рассеивающего объема, формирующего ФРТ мутного слоя в «ближней зоне». Оценочный эксперимент заключается в определении зависимости яркости света, рассеянного слоем среды, от размеров последовательно увеличивающихся круглых диффузно светящихся тест-объектов до величины «насыщения» яркости. Эти измерения были проведены в широком диапазоне оптических толщин от  $\tau = 0,29$  до  $\tau = 12,7$ . Проведенная оценка дает возможность сделать вывод о том, что геометрические размеры кюветы с рассеивающей средой достаточны и превышают необходимый рассеивающий объем, нужный для учета практически полной ФРТ в диапазоне  $0 \leq l \leq 90$  мм. Это позволяет результаты исследований  $\tilde{K}(\omega)$ ; ( $0 \leq l \leq 90$ ) использовать для анализа условий видения объектов произвольных размеров.

Для моделирования в лабораторных условиях разнообразных атмосферно-оптических ситуаций создавались среды с оптическими толщинами и некоторыми характерными размерами рассеивающих частиц. Так, раствором молока в дистиллированной воде с диаметром частиц приблизительно 3 мкм моделировались условия наблюдения через облачные образования. Взвесь ликоподия имитировала слой тумана с диаметром частиц около 34 мкм. На рис. 1 приведен пространственный спектр при наблюдении через слой дистиллированной воды без внесения дискретных рассеивателей.

Дистиллированная вода является слаборассеивающей средой с угловым распределением интенсивности рассеянного света, близким к рэлеевскому на очень малых изотропных частицах с максимумом пропускания в сине-зеленой оптической области спектра. Из рисунка видно, что перемещение слоя с дистиллированной водой не приводит к значительным изменениям  $\tilde{K}(f; t)$ , где параметр  $t$  характеризует положение слоя повышенной мутности на трассе наблюдения и равен  $l/L$ ,  $L$  — расстояние между источником и приемным объективом. Минимальное значение  $t = 0$  определяет положение слоя у объекта. Пространственный спектр частот системы видения в этом случае при изменении  $0,01 \leq t \leq 0,1$  ограничен кривыми на рис. 1.

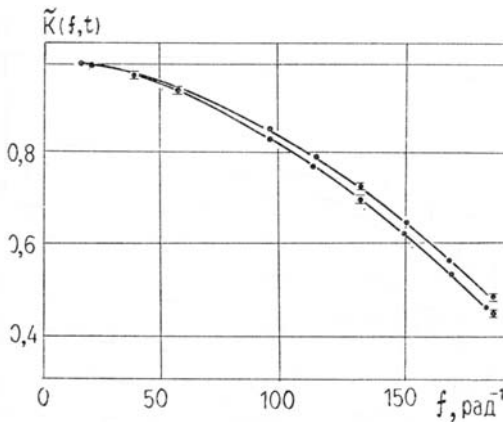


Рис. 1. Пространственный спектр в плоскости изображения системы видения через слой, дистиллированной воды для  $0,01 \leq t \leq 1,0$

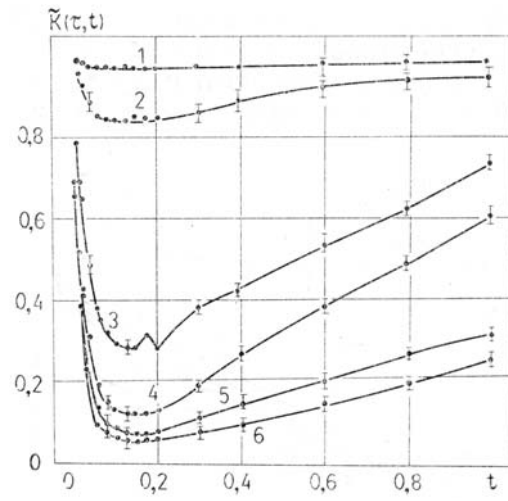


Рис. 2. Зависимость  $\tilde{K}(t; t)$  для монодисперсного слоя с диаметром частиц ~ 3 мкм для фиксированной пространственной частоты  $f = 19$  рад $^{-1}$  и оптических толщин: 1 — 0,45; 2 — 1,5; 3 — 3,0; 4 — 5,0; 5 — 6,0; 6 — 7,0

Оценка влияния оптической толщины рассеивающего слоя на функцию  $\tilde{K}(t; t)$  с изменением  $t$  была проведена экспериментально в широком диапазоне  $\tau$ . На рис. 2 показана трансформация контраста изображения  $\tilde{K}(t; t)$  как функции относительного расстояния и оптической толщины  $\tau$  на фиксированной пространственной частоте  $f = 19$  рад $^{-1}$  для раствора молока. С увеличением оптической толщины слоя характер зависимости  $\tilde{K}(t; t)$  меняется. Для определенных значений  $\tau$  существует минимум функции  $\tilde{K}(t; t)$  при перемещении слоя по трассе наблюдения [6]. Например, для оптической толщины  $\tau = 0,45$  (кривая 1) изменение  $\tilde{K}(t; t)$  при  $t \rightarrow 1,0$  практически отсутствует. Для  $\tau = 1,5$  (кривая 2) наблюдается уменьшение контраста в районе  $0,05 \leq t \leq 0,3$ . При увеличении  $\tau$  до 3—5 у функции  $\tilde{K}(t; t)$  появляется глубокий минимум, который начинает сглаживаться с ростом  $\tau$ . Эти изменения в зависимости от  $\tau$  можно

характеризовать, например, наклоном линейной части функции  $\tilde{K}(\tau; t)$  для значений  $t = 0,2 - 1,0$ . В этом случае для оптических толщин  $\tau = 5,0$  и  $\tau = 7.0$

$$\tilde{K}(5; 0,2 < t < 1) = c_1 t; \quad \tilde{K}(7; 0,2 < t < 1) = c_2 t,$$

где  $c_1 = 0,6$ ;  $c_2 = 0,25$ . Из сравнения этих двух функций видно, что угловые коэффициенты  $c_1$  и  $c_2$  при варьировании оптической толщины от 5 до 7 изменяются более чем в 2 раза. Дальнейшее увеличение  $\tau$  приближает угловой коэффициент к единице.

Таким образом, значение  $\tilde{K}(\tau; t)$  при различных положениях рассеивающего слоя определяется оптической толщиной рассеивающей среды. Для малых оптических толщин, когда основную роль играет однократное рассеяние, перемещение слоя не приводит к существенным изменениям в контрасте изображения. Возрастание многократного рассеяния с увеличением  $\tau$  ведет к резкому уменьшению функции  $\tilde{K}(\tau; t)$  при определенных положениях слоя рассеивающей среды. Дальнейший рост многократно рассеянного света сглаживает немонотонность  $\tilde{K}(\tau; t)$ .

Влияние размеров частиц и положения рассеивающего слоя на  $\tilde{K}(f; t)$  иллюстрируют рис. 3 и 4. На рис. 3 приведена зависимость изменения  $\tilde{K}(f; t)$  для раствора молочной среды оптической толщины  $\tau = 3$ . Перемещение рассеивающего слоя дает характерный минимум, отмеченный ранее. После резкого уменьшения  $\tilde{K}(f; t)$  в области  $0 < t \leq 0,2$  для всех пространственных частот наблюдается монотонное увеличение контраста с приближением рассеивающего слоя к приемной системе. Влияние крупных частиц на изменение  $\tilde{K}(f; t)$  показано на рис. 4. При наблюдении через рассеивающий слой из взвеси частиц ликоподия ( $\tau = 3,5$ ) минимум контраста наблюдается на более близком расстоянии от источника излучения. Функция  $\tilde{K}(f; t)$  имеет выраженный минимум в диапазоне  $0 < t \leq 0,15$  и слабо зависит от  $t$  при  $t \rightarrow 1$ . Его существование может быть объяснено взаимодействием прямопрошедшего и рассеянного излучения. Если рассмотреть систему видения,ирующую на конечном расстоянии, то, как уже отмечалось, величина  $\tilde{K}(f; t) = \tilde{k}(f; t) / \tilde{k}(0; t)$  есть отношение интенсивности пространственной спектральной компоненты к полному потоку, создаваемому точечным объектом, в поле зрения приемной системы. Полный поток является функцией эффективного рассеивающего объема, размеров рассеивателей и оптической толщины. При перемещении слоя в ближней зоне происходит перераспределение (для достаточной оптической толщины и при значительном эффективном рассеивающем объеме) между прямым и рассеянным излучением, которое приводит к снижению контраста изображения.

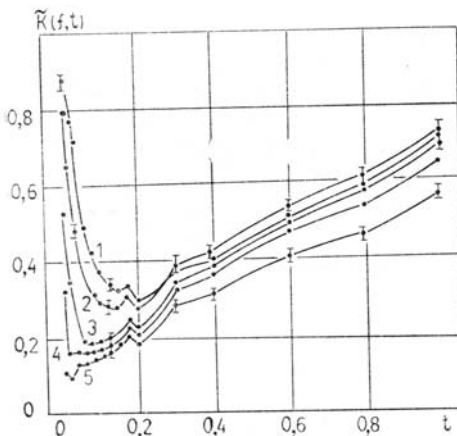


Рис. 3. Зависимость  $\tilde{K}(f; t)$  для раствора молока; оптическая толщина  $\tau = 3,0$ ; пространственные частоты: 1 –  $13 \text{ rad}^{-1}$ ; 2 –  $19 \text{ rad}^{-1}$ ; 3 –  $39 \text{ rad}^{-1}$ ; 4 –  $77 \text{ rad}^{-1}$ ; 5 –  $116 \text{ rad}^{-1}$

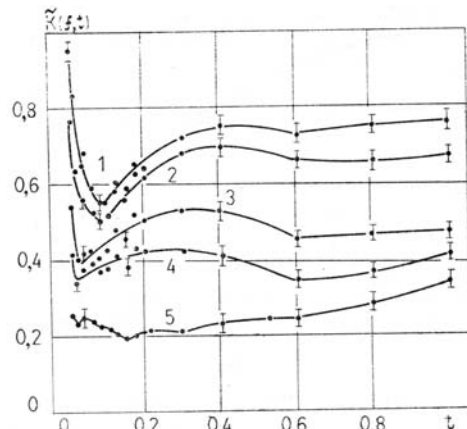


Рис. 4. Зависимость  $\tilde{K}(f; t)$  для взвеси ликоподия с диаметром частиц  $\sim 34 \text{ мкм}$ ;  $\tau = 3,5$ ; пространственные частоты: 1 –  $13 \text{ rad}^{-1}$ ; 2 –  $19 \text{ rad}^{-1}$ ; 3 –  $39 \text{ rad}^{-1}$ ; 4 –  $58 \text{ rad}^{-1}$ ; 5 –  $116 \text{ rad}^{-1}$

С одной стороны, чем меньше частицы, тем более существен вклад многократно рассеянного света в эффективный рассеивающий объем из прилегающей к нему рассеивающей зоны. С другой стороны, уменьшение эффективного рассеивающего объема и уменьшение вклада рассеянного света приводят к улучшению контраста при перемещении слоя к приемнику. В случае крупных частиц (для положения слоя вблизи источника) основная часть рассеянного света концентрируется в области прямопрошедшего излучения в ФРТ, что приводит к разрушению тонкой структуры изображения. Для

крупных частиц вклад рассеянного света определяется в большей степени центральной частью углового распределения, которое меньше зависит от эффективного рассеивающего объема. Таким образом, при наблюдении через слой крупных частиц для  $0,2 \leq t \leq 1$  в данных условиях эксперимента функция  $\tilde{K}(f; t)$  слабо зависит от положения рассеивающего слоя.

Проведенные экспериментальные исследования позволяют сделать следующие выводы:

1. Перемещение ограниченного слоя мутной среды в промежутке между приемником и объектом может приводить к немонотонному изменению контраста изображения. Существует область оптических толщин, в которой контраст изображения проходит через минимальное значение. В данном эксперименте эту область можно оценить значением оптической толщины  $1,5 \leq \tau \leq 6,0$  для размера рассеивающих частиц диаметром  $\sim 3$  мкм.

2. Перемещение слоя с крупными частицами оказывает меньшее искажающее влияние на качество изображения в зоне, прилегающей к приемному объективу. Значения параметра  $t$  для этого случая определяются пределами  $0,2 \leq t \leq 1$ .

1. Зуев В. Е., Кабанов М. В. Перенос оптических сигналов в земной атмосфере (в условиях помех). — М.: Советское радио, 1977. — 386 с.
2. Зеге Э. П., Иванов А. П., Кацев И. Л. Перенос изображения в рассеивающей среде. — Минск: Наука и техника, 1985. — 327 с.
3. Зуев В. Е., Кабанов М. В. Оптика атмосферного аэрозоля. — Л.: Гидрометеоиздат, 1987. — 254 с.
4. Волнистова Л. П., Дрофа А. С. — Изв. АН СССР. ФАО, 1985, т. 21, № 1, с. 50.
5. Проектирование оптических систем/Под редакцией Р. Шеннона, Дж. Вайанта. — М.: Мир, 1983. — 430 с.
6. Зуев В. Е., Белов В. В., Борисов Б. Д., Генин В. Н., Кабанов М. В., Креков Г. М. — ДАН СССР, 1983, т. 268, № 2, с. 321.
7. Будак В. П., Гуторов М. М., Федосов В. П. — Светотехника, 1986, № 11, с. 19.
8. Борисов Б. Д., Генин В. Н., Лиммер Б. А., Наливайко А. А., Шишлов В. И. — В кн.: Проблемы оптики атмосферы. — Новосибирск: Наука, 1983, с. 150.
9. Белов В. В., Борисов Б. Д., Генин В. Н., Креков Г. М., Макушкина И. Ю. — Изв. АН СССР. ФАО, 1987, т. 23, № 11, с. 1205.

Институт оптики атмосферы  
СО АН СССР, Томск

Поступила в редакцию  
23 декабря 1987 г.

#### B. D. Borisov. Effect of Model Turbid Medium Layer on Image Transfer.

The results of laboratory-scale experiments simulating image transfer through a scattering medium layer are presented. The relation of the image quality to the layer position and particle size is discussed. Optical depths are evaluated for which the image contrast is a nonmonotonic function of the layer position.